

РОССИЙСКАЯ АКАДЕМИЯ НАУК

СИБИРСКОЕ ОТДЕЛЕНИЕ

А В Т О М Е Т Р И Я

2005, том 41, № 6

МЕТОДЫ ОБРАБОТКИ СИГНАЛОВ И ИЗОБРАЖЕНИЙ

УДК 621.319.26

В. К. Ключко

(Рязань)

МЕТОДЫ ОПТИМАЛЬНОГО ВОССТАНОВЛЕНИЯ
РАДИОЛОКАЦИОННЫХ ИЗОБРАЖЕНИЙ ПОВЕРХНОСТИ

Предлагаются различные методы оптимального восстановления радиолокационных изображений поверхности по интегральным наблюдениям, полученным в режимах последовательного смещения реального луча радиолокационной станции (РЛС) по азимуту и «синтезирования апертуры», позволяющие повысить разрешающую способность РЛС и устранить смазывание изображений.

Постановка задачи. При построении систем наблюдения за объектами на поверхности (и воздушной обстановкой) в передней зоне обзора бортовой радиолокационной станции (БРЛС), работающей в режиме «реального луча» с электронным сканированием [1], возникает проблема повышения разрешающей способности БРЛС по азимуту, которая заключается в следующем. Исследованное поле отражения представлено совокупностью амплитуд отраженных сигналов $x(i, j)$ в i, j -х элементах дискретизации в виде матрицы искомого изображения $x(i, j)$, $i \in \overline{1, M}$, $j \in \overline{1, N}$, где i – номер элемента дискретизации по дальности, j – номер элемента дискретизации по азимуту. Размер элемента дискретизации по дальности совпадает с размером элемента разрешения, а по азимуту – в $n = 2m - 1$ раз меньше ширины главного лепестка диаграммы направленности антенны (ДНА). В последовательности дискретных моментов времени t_1, t_2, \dots, t_N на малом промежутке времени $[t_1, t_N]$ центральное направление луча РЛС последовательно занимает N положений по строке (по азимуту), каждый раз смещаясь на один элемент дискретизации по j ($j \in \overline{1, N}$). При каждом j -м положении луча запоминаются амплитуды сигналов $y_k(i, j)$, зафиксированные в i -х элементах разрешения (стробах) дальности ($i \in \overline{1, M}$) в суммарном ($k = 1$) и разностном ($k = 2$) приемных каналах РЛС. В результате получается матрица наблюдаемого радиолокационного (РЛ) изображения поверхности $y_k(i, j)$, $i \in \overline{1, M}$, $j \in \overline{1, N}$, $k \in \overline{1, L}$, привязанная к некоторому текущему моменту времени t (например, $t = t_N$), где M – число строк матрицы изображения (число элементов разрешения по дальности);

N – число ее столбцов (элементов дискретизации по азимуту), определяемое числом смещений луча РЛС; L – число каналов.

После соответствующей первичной обработки по ряду промежуточных замеров величины $y_k(i, j)$ связаны с искомым полем отражения $x(i, j)$ следующей суммарной зависимостью:

$$y_k(i, j) = \sum_{j_1=1}^m c_k(j_1) x(i, j - j_1) + w(i, j), \quad (1)$$

где $c_k(i, j)$ – известные коэффициенты ДНА (аппаратные коэффициенты) k -го канала; $w(i, j) \sim N(0, \frac{\sigma^2}{W})$ – гауссовская случайная составляющая.

Случайные поля $x(i, j)$ и $w(i, j)$ в выражении (1) в общем случае коррелированы по i и j , однако практически корреляцией по строкам дальности i можно пренебречь. Поэтому переменная i в (1) опускается, и в дальнейшем рассматривается модель измерения вида

$$y_k(j) = \sum_{j_1=1}^m c_k(j_1) x(j - j_1) + w(j), \quad j \in \overline{1, N}, \quad k \in \overline{1, L}, \quad (2)$$

в каждой i -й строке $(i \in \overline{1, M})$ матрицы РЛ-изображения $y_k(i, j)$, $i \in \overline{1, M}$, $j \in \overline{1, N}$, независимо от других строк.

Задача повышения разрешающей способности РЛС по азимуту понимается как задача восстановления искомого поля отражения $x(i, j)$ в элементах дискретизации i, j на основе наблюдений (1) или (2).

При работе БРЛС в режиме «синтезирования апертуры» [2] (или доплеровского обужения) получается матрица изображения $y_k(i, j)$ по каждому k -му каналу измерения в координатах «дальность R_i – азимут θ_j » (или доплеровская частота f_j), элементы дискретизации которой по i и j совпадают с элементами разрешения R и θ . При определенной схемной реализации указанного режима возникает взаимное влияние соседних элементов разрешения по i и j и измерение $y_k(i, j)$ оказывается связанным с искомым полем $x(i, j)$ суммарной зависимостью типа пространственного смазывания или в частном случае крестообразного смазывания по строке и столбцу:

$$y_k(i, j) = \sum_{j_1=1}^m c_k(j_1) x(i, j - j_1) + \sum_{i_1=1}^n c_k(i_1) x(i - i_1, j) + w(i, j), \quad (3)$$

где коэффициенты $c_k(j)$ и $c_k(i)$ определяют степень взаимного влияния элементов разрешения по i и j (характер смазывания); $w(i, j)$ – случайная величина: $w(i, j) \sim N(0, \frac{\sigma^2}{W})$.

Задача в этом случае состоит в устраниении смазывания или восстановлении поля $x(i, j)$ по измерениям (3).

Решение обеих задач (модели (1), (2) и (3)) сводится к восстановлению поля $x(i, j)$ путем нахождения наилучших в определенном смысле его оценок $\hat{x}(i, j)$ по заданным параметрам системы наблюдения и характеристикам объектов наблюдения (полей). Точность восстановления $x(i, j)$ характеризуется ошибкой оценивания $\hat{x}(i, j) - x(i, j)$.

Путем включения $x(i, j \mid j_1), j_1 \in \overline{m, m}$, и $x(i \mid i_1, j), i_1 \in \overline{n, n}$, в один расширенный вектор $X(j), j \in \overline{(m-n), (m-n)}$, а также включения $_k(j_1), j_1 \in \overline{m, m}$, и $_k(i_1), i_1 \in \overline{n, n}$, в вектор $_k(j_1), j_1 \in \overline{(m-n), (m-n)}$, модель (3) приводится к (2). Поэтому изложение методов восстановления $x(i, j)$ далее проводится применительно к модели (2).

Восстановление изображений методами оптимального решения систем линейных уравнений с помехами. При наличии одного (суммарного) канала измерения ($L = 1$) модель (2) представляет систему N уравнений с $N = 2m$ неизвестными параметрами $x(1 \mid m), \dots, x(1), \dots, x(N \mid m), \dots, x(N \mid m)$, или в другой нумерации:

$$\begin{aligned} y(1) & (1)x(1) & (2)x(2) & \dots & (n)x(n) & w(1); \\ y(2) & (1)x(2) & (2)x(3) & \dots & (n)x(n-1) & w(2); \\ & \dots & & & & \\ y(N) & (1)x(N) & (2)x(N-1) & \dots & (n)x(N-n-1) & w(N), \end{aligned} \quad (4)$$

где $n = 2m - 1$, или в матричной форме $Y = AX + W$:

$$\begin{matrix} y(1) & (1) & \cdots & (n) & 0 & 0 & x(1) & w(1) \\ y(2) & 0 & (1) & \cdots & (n) & 0 & x(2) & w(2) \\ \dots & \dots \\ y(N) & 0 & 0 & (1) & \cdots & (n) & x(N-n-1) & w(N) \end{matrix},$$

где $A - N \times (N-n-1)$ -матрица коэффициентов ДНА; X – вектор-столбец размерности N искомых параметров; Y – N -вектор измерений и W – N -вектор помех.

Прямые методы решения неопределенной системы (4) относительно $x(1), x(2), \dots, x(n-N-1)$ путем задания $n-1$ начальных условий $x(1), \dots, x(n-1)$ оказываются неприемлемыми из-за накапливания ошибок установки начальных данных и неучтенных случайных составляющих даже в случае предварительного сглаживания (фильтрации) помех W , т. е. перехода от $Y = AX + W$ к приближенному равенству $Y = AX$.

Возможно (после фильтрации помех W) сведение решения $Y = AX$ к известной оптимизационной задаче на условный экстремум путем минимизации нормы

$$\begin{aligned} \|X\|^2 = X^T X = \sum_{j=1}^k x^2(j), \quad k = l - n + 1, \quad l = N, \\ X^T X \min, \quad \begin{matrix} y(1) & (1) & \cdots & (n) & 0 & 0 & x(1) \\ y(2) & 0 & (1) & \cdots & (n) & 0 & x(2) \\ \dots & \dots & \dots & \dots & \dots & \dots & \dots \\ y(l) & 0 & 0 & (1) & \cdots & (n) & x(l-n-1) \end{matrix}, \end{aligned}$$

где l – число измерений, используемых при оценивании $l \times n - 1$ параметров $x(1), x(2), \dots, x(l \times n - 1)$; $A - l \times (l \times n - 1)$ -матрица; T – символ транспонирования. Для решения этой задачи в соответствии с методом Лагранжа составляется функция Лагранжа $F(X, Y) = X^T X + \frac{1}{2} Y^T A^T A Y$, где (Y_1, \dots, Y_l) – вектор l множителей Лагранжа, и из системы уравнений для стационарной точки $\nabla F / \nabla X = 2X^T + A^T A = 0$, $\nabla F / \nabla Y = A X = Y$ находится вектор оценок \hat{X} искомых параметров X :

$$\hat{X} = A^T (A A^T)^{-1} Y. \quad (5)$$

Решение (5) удобно реализуется в виде линейных операций $X = HY$, где $H = A^T (A A^T)^{-1}$ – матрица весовых коэффициентов, вычисляемая заранее.

Однако данный метод и ему подобные (например, метод минимума энергии [3] при обработке оптических изображений) не отвечают специфике РЛ-изображений, где амплитуды сигналов, отраженных от объектов, значительно превышают амплитуды сигналов, отраженных от фона. В этих условиях минимизация нормы приводит к снижению уровня полезного сигнала, а минимизация энергии или дисперсии требует знания неизвестного среднего уровня полезного сигнала. В частных случаях возможно использование (5) после смещения измерений $y(j)$ на некоторую среднюю величину (ожидаемое среднее значение поля отражения).

Другой подход к решению задачи восстановления изображений с позиции решения систем уравнений заключается в увеличении числа измерений. При наличии второго (разностного) канала измерений размерность системы (4) удваивается и для первых $2l$ измерений принимает следующий вид:

$$\begin{aligned} &y(1) \quad (1)x(1) \quad (2)x(2) \quad \dots \quad (n)x(n) \quad w(1); \\ &\dots \\ &y(l) \quad (1)x(l) \quad (2)x(l-1) \quad \dots \quad (n)x(l-n+1) \quad w(l), \\ \\ &y(1) \quad (1)x(1) \quad (2)x(2) \quad \dots \quad (n)x(n) \quad w(1); \\ &\dots \\ &y(l) \quad (1)x(l) \quad (2)x(l-1) \quad \dots \quad (n)x(l-n+1) \quad w(l), \end{aligned}$$

где $y(j)$, $w(j)$ – измерения, коэффициенты ДНА и помехи разностного канала соответственно; $2l$ – общее число измерений ($n-l+N$), используемых при оценивании $l \times n - 1$ неизвестных параметров $x(j)$.

В матричной форме $Y = AX + W$ имеем

$$\begin{matrix} y(1) & (1) & \dots & (n) & 0 & 0 & w(1) \\ \dots & \dots & \dots & \dots & \dots & \dots & x(1) & \dots \\ y(l) & 0 & 0 & (1) & \dots & (n) & x(2) & w(l) \\ y(1) & (1) & \dots & (n) & 0 & 0 & \dots & w(1) \\ \dots & \dots & \dots & \dots & \dots & \dots & x(l-n+1) & \dots \\ y(l) & 0 & 0 & (1) & \dots & (n) & & w(l) \end{matrix}, \quad (6)$$

где $A - 2l$ ($l \times n - 1$)-матрица коэффициентов ДНА.

Так как система (6) в силу случайных составляющих W в общем случае несовместна, то ее решение заменяется решением оптимизационной задачи

$$\|W\|^2 \|Y - AX\|^2 = (Y - AX)^T(Y - AX) \min, \quad X \in R^{l \times n-1},$$

т. е. находится как решение стандартного метода наименьших квадратов (МНК) в матричной форме из необходимого условия существования экстремума функции $\|W\|^2 = (X)$:

$$\|W\|^2 / X = 2(Y - AX)^T(A - 0^T) = A^T(Y - AX) = 0 = (A^T A)X - A^T Y,$$

что приводит к линейной структуре вектора оценок \hat{X} параметров X :

$$\hat{X} = HY, \quad H = (A^T A)^{-1} A^T, \quad (7)$$

где H – матрица весовых коэффициентов, вычисляемая заранее при условии невырожденности матрицы $A^T A$.

Результат (7) в случае гауссовых ошибок W совпадает с методом максимального правдоподобия, и точность оценивания X по формуле (7) характеризуется ковариационной матрицей ошибок оценивания $\hat{X} = \hat{X}^T X$: $K_{\hat{X}} = W^2 (A^T A)^{-1}$, диагональные элементы которой представляют дисперсии несмешенных оценок $\hat{x}(1), \hat{x}(2), \dots, \hat{x}(l - n + 1)$, причем наименьшую дисперсию в составе матрицы $K_{\hat{X}}$, вычисленной на основе коэффициентов ДНА, имеет центральная оценка $\hat{x}(k)$, где $k = (l - n)/2$.

Плохая обусловленность матрицы $A^T A$ преодолевается введением параметра регуляризации (например, $\alpha = 0,1$):

$$\hat{X} = (I - A^T A)^{-1} A^T Y,$$

где I – единичная матрица размера $(l - n + 1) \times (l - n + 1)$. При обращении матрицы $A^T A$ удобно использовать рекуррентный алгоритм [4]:

$$B_k = B_{k-1} - B_{k-1} a_k a_k^T B_{k-1} / (1 - a_k^T B_{k-1} a_k), \quad k = 1, 2, \dots, l - n + 1,$$

$$B_{l-n+1} = (A^T A)^{-1},$$

при начальном условии $B_0 = I, \quad 1/$.

Восстановление изображений методом минимизации среднего квадрата ошибки оценивания для линейной структуры оценки. В рамках одного из классических подходов [5] решение задачи восстановления поля $x(i, j)$ сводится к поточечному оцениванию параметров $x(j)$ по критерию минимума среднего квадрата ошибки $\hat{x} = \hat{x}(j) - x(j)$ при заданной линейной структуре оценки

$$\hat{x}(j) = \sum_{k=1}^{L-l} h_k(j_1) y_k(j - j_1), \quad (8)$$

где $L = 1$ или $L = 2l - 1$ – число измерений, используемых при оценивании параметра $x(j)$; $y_k(j)$ – измерения, подчиненные модели (2).

Подобные подходы известны (например, [6]) при восстановлении оптических полей.

Искомые весовые коэффициенты $h_k(j)$, $j \in \overline{l, l}$, $k \in \overline{1, L}$, находятся из решения оптимизационной задачи

$$E[(\hat{x}(j))^2] - E[(\hat{x}(j) - x(j))^2] \rightarrow \min,$$

где Е – символ осреднения. При этом учитываются равенства (2), (8) и нормированные автокорреляционные функции $x(j)$, $w(j)$ последовательностей $x(j)$, $w(j)$, $j = 1, 2, \dots, N$. Число измерений $2l - 1$, равное числу весовых коэффициентов, разумно принять не меньше числа оцениваемых параметров $2l - 1 \geq m - 1$, а в случае некоррелированности $x(j)$ по j – равным числу параметров $2l - 1 \geq m - 1 \geq n$, так как согласно (2) все измерения $y_k(j - j_1)$, $j_1 \in \overline{m, m}$, включают в себя оцениваемый параметр $x(j)$.

Весовые коэффициенты $h_k(j_1)$ находятся из необходимого условия существования экстремума

$$E[(\hat{x}(j))^2] / h_q(i) = 0, \quad i \in \overline{l, l}, \quad q \in \overline{1, L},$$

или

$$2E[(\hat{x}(j) - x(j)) \hat{x}(j)] / h_q(i) = 0, \quad \hat{x}(j) / h_q(i) = y_q(j - i), \quad i \in \overline{l, l}, \quad q \in \overline{1, L},$$

которое после подстановки (8) представляет систему $L(2l - 1)$ уравнений с $L(2l - 1)$ неизвестными весовыми коэффициентами:

$$\sum_{k=1}^{L-1} \sum_{j_1=l}^l h_k(j_1) E[y_k(j - j_1) y_k(j - i)] = E[x(j) y_q(j - i)], \quad i \in \overline{l, l}, \quad q \in \overline{1, L}. \quad (9)$$

После подстановки (2) в (9) получается система

$$\begin{aligned} & \sum_{k=1}^{L-1} \sum_{j_1=l}^l h_k(j_1) E \sum_{i_1=l}^l h_k(i_1) x(j - j_1 - i_1) w(j - j_1) \\ & \quad + \sum_{i_2=l}^l h_k(i_2) x(j - i - i_2) w(j - i) \\ & E x(j) \sum_{i_2=l}^l h_q(i_2) x(j - i - i_2) w(j - i) = K_X(j_1 - i_1 - i - i_2), \end{aligned}$$

которая с учетом независимости $x(j)$ от $w(j)$ и равенств:

$$E[x(j - j_1 - i_1)x(j - i - i_2)] = K_X(j_1 - i_1 - i - i_2),$$

$$E[w(j-j_1)w(j-i)] = K_w(j_1-i), \quad E[x(j)x(j-i-i_2)] = K_x(i-i_2)$$

после деления уравнений на $K_x(0)$ в предположении $K_x(0) = \text{const}$ для стационарных полей принимает вид

$$\begin{aligned} & \sum_{k=1}^L h_k(j_1) \sum_{i_1=1}^l \sum_{i_2=1}^l h_k(i_1) h_k(i_2) K_x(j_1-i_1-i-i_2) = K_w(j_1-i) \\ & \sum_{i_2=1}^l h_q(i_2) K_x(i-i_2), \quad i \in \overline{l, l}, q \in \overline{1, L}, \end{aligned} \quad (10)$$

где $K_x(j)$, $K_w(j)$ – нормированные автокорреляционные функции: $K_x(j) = \exp[-k_1(j)^2]$, $K_w(j) = a \exp[-k_2(j)^2]$; a – параметр, подбираемый с учетом ожидаемых свойств поля отражения; k_1, k_2 – задаваемые коэффициенты. В случае некоррелированности $x(j)$ или $w(j)$ имеем:

$$K_x(j) = 1, \quad K_w(j) = a, \quad \text{если } j = 0,$$

или

$$K_x(j) = 0, \quad K_w(j) = 0, \quad \text{если } j \neq 0.$$

Проверка несмешенности оценки $\hat{x}(j)$ параметра $x(j)$, найденной в соответствии с (8), (10), в частном случае может быть выполнена следующим образом. Осреднение (8) с учетом (2) приводит к выражению

$$E[\hat{x}(j)] = \sum_{k=1}^L h_k(j_1) \sum_{j_2=1}^m (j_2) E[x(j-j_1-j_2)],$$

которое в случае $E[x(j-i)] = c = \text{const}$, $i \in \overline{(l-m), (l-m)}$, на промежутке оценивания для несмешенной оценки $E[\hat{x}(j)] = E[x(j)] = c$ дает следующее условие нормировки (необходимое и достаточное условие несмешенности оценок для стационарных полей):

$$a \sum_{k=1}^L h_k(j_1) \sum_{j_2=1}^m h_k(j_2) = 1.$$

Если $a = 1$, то весовые коэффициенты следует пересчитать по формуле $h_k^*(j) = h_k(j)/a$, $j \in \overline{l, l}$, $k \in \overline{1, L}$.

Несмотря на сравнительную простоту и удобство реализации, алгоритм (8) восстановления поля $x(i, j)$ имеет определенные ограничения. Одним из таких ограничений является предположение о стационарности случайной последовательности $x(j)$ в пределах промежутка оценивания, что не характерно для РЛ-сигналов отражения, амплитуда которых резко меняется при переходе от изображения фона к изображению объектов. Другим ограничением является сглаживающее свойство оценок (8) (как следствие структуры (8)), которое в случае быстро меняющихся процессов $x(j)$ приводит к уменьшению точности восстановления $x(j)$.

Более чувствительным к изменению оцениваемых параметров является рекуррентный алгоритм, рассматриваемый далее.

Восстановление изображений методом минимизации суммы квадратов ошибок оценивания для калмановской модели. Корреляционные свойства искомой последовательности $x(j)$, $j = 1, N$, можно задать стохастическим разностным уравнением типа калмановской модели изменения состояния:

$$x(j) = ax(j-1) + bv(j), \quad j = \overline{1, N-m}, \quad (11)$$

где a и b – параметры, определяющие корреляционные характеристики последовательности $x(j)$, начальный элемент которой $x(0)$ распределен по нормальному закону с математическим ожиданием m_x и дисперсией σ_x^2 : $x(0) \sim N(m_x, \sigma_x^2)$, причем в случае отсутствия априорной информации можно положить $m_x = 0$; $v(j)$ – последовательность случайных некоррелированных величин, моделирующих непредвиденные изменения состояния, которые распределены поциальному закону с нулевым средним и дисперсией σ_v^2 : $v(j) \sim N(0, \sigma_v^2)$.

Для приведения выражений (11), (2) к стандартной калмановской модели проводится обобщение [7] на случай L-канальных измерений. Вводятся в рассмотрение следующие векторы и матрицы:

- n-вектор состояния $X(j) = (x(j-m), \dots, x(j), \dots, x(j+m))^T$, $n = 2m + 1$;
 - n-вектор случайных составляющих $V(j) = (v(j-m), \dots, v(j), \dots, v(j+m))^T$;
 - L-вектор $W(j) = (w_k(j), k = \overline{1, L})^T = (w_1(j), \dots, w_L(j))^T$ гауссовских ошибок измерения с ковариационной ($L \times L$)-матрицей R_W ;
 - L-вектор измерений $Y(j) = (y_k(j), k = \overline{1, L})^T = (y_1(j), \dots, y_L(j))^T$, $L \leq 1$ или $L = 2$;
 - n n -матрицы A и B , включающие параметры a и b , и L n -матрица H коэффициентов ДНА:

$$\begin{array}{ccccccccc}
0 & 1 & 0 & \cdots & 0 & 0 & & 0 & \cdots & 0 & 0 \\
0 & 0 & 1 & \cdots & 0 & 0 & & \cdots & \cdots & \cdots & \cdots \\
A & \cdots & \cdots & \cdots & \cdots & \cdots & \cdots & B & \cdots & \cdots & \cdots & \cdots & \cdots \\
& 0 & 0 & 0 & \cdots & 0 & 1 & & 0 & \cdots & 0 & 0 \\
& 0 & 0 & 0 & \cdots & 0 & a & & 0 & \cdots & 0 & b \\
\\
H & & _1(-m) & \cdots & _1(0) & \cdots & _1(m) & & \\
& & \cdots & \cdots & \cdots & \cdots & \cdots & . \\
L & & _L(-m) & \cdots & _L(0) & \cdots & _L(m) &
\end{array}$$

Тогда уравнение изменения состояния (11) и модель измерений (2) принимают вид векторно-матричных уравнений

$$X(j) \quad AX(j-1) \quad BV(j), \quad j = \overline{1, N}; \quad Y(j) \quad HX(j) \quad W(j), \quad j = \overline{1, N}. \quad (12)$$

В рамках полученной калмановской модели (12) задача восстановления $x(j)$, $j \in \overline{1, N}$, сводится к нахождению в каждой i -й строке последовательности $\hat{X}(j)$, $j \in \overline{1, N}$, калмановских оценок вектора состояния $X(j)$, обеспечивающих минимум условного среднего (при фиксированных наблюдениях) суммарного квадрата ошибок оценивания $\hat{x}(j) - \tilde{x}(j) - x(j)$:

$$E \left\| \hat{X}(j) - X(j) \right\|^2 / Y(1), Y(2), \dots, Y(j) \quad \min, \quad j \in \overline{1, N}, \quad (13)$$

где

$$\left\| \hat{X}(j) - X(j) \right\|^2 = (\hat{X}(j) - X(j))^T (\hat{X}(j) - X(j)) = \sum_{i=m}^m (\hat{x}(j-i) - x(j-i))^2.$$

При линейных гауссовских моделях (12) условная плотность распределения $f(X(j)/Y(1), \dots, Y(j))$ является гауссовой с ковариационной матрицей $P(j) = E[(\hat{X}(j) - X(j))(\hat{X}(j) - X(j))^T / Y(1), Y(2), \dots, Y(j)]$ и условным средним $\hat{X}(j) = E[X(j)/Y(1), \dots, Y(j)]$, которое в этом случае совпадает с калмановской оценкой $\hat{X}(j)$, обеспечивающей минимум (13). В этом случае последовательность несмешенных калмановских оценок $\hat{X}(j)$, $j \in \overline{1, N}$, принимает следующий стандартный вид (например, [5]):

$$\hat{X}(j) = A\hat{X}(j-1) + Q(j)(Y(j) - HA\hat{X}(j-1)), \quad j \in \overline{1, N}, \quad (14)$$

где $Q(j)$ – $n \times n$ – L -матрица коэффициентов усиления калмановского алгоритма: $Q(j) = (Q_1(j), \dots, Q_L(j))$, $Q_k(j) = (q_k(m, j), \dots, q_k(0, j), \dots, q_k(m, j))^T$, $k \in \overline{1, L}$, вычисляемая на j -м шаге по формуле

$$Q(j) = P(j/j-1)H^T(HP(j/j-1)H^T + R_W)^{-1}$$

на основе априорной ковариационной матрицы

$$P(j/j-1) = AP(j-1)A^T + \frac{2}{\nu} BB^T.$$

Здесь $P(j/j-1)$ – апостериорная $n \times n$ -ковариационная матрица, вычисленная на предыдущем $(j-1)$ -м шаге и далее уточняемая по формуле

$$P(j) = (I - Q(j)H)P(j/j-1).$$

Начальные условия устанавливаются следующим образом. Начальный вектор оценок $\hat{X}(0)$ определяется как среднее априорное на основе модели (11) при $b = 0$:

$$\hat{X}(0) = E[0, \dots, 0, x(0), x(1), \dots, x(m)]^T = m_X [0, \dots, 0, 1, a, a^2, \dots, a^m]^T.$$

Начальная матрица $P(0)$ задается как $n \times n$ -ковариационная матрица вектора $X(0)$:

$$P(0) = E[X(0)X^T(0)] = E[x^2(0)] \begin{pmatrix} Q_{m,m} & Q_{m,m-1} \\ Q_{m-1,m} & P_{m-1,m-1} \end{pmatrix},$$

где

$$P_{m-1,m-1} = \begin{pmatrix} 1 & a & a^2 & a^3 & \dots & a^m \\ a & a^2 & a^3 & a^4 & \dots & a^{m-1} \\ a^2 & a^3 & a^4 & a^5 & \dots & a^{m-2} \\ \dots & \dots & \dots & \dots & \dots & \dots \\ a^m & a^{m-1} & a^{m-2} & a^{m-3} & \dots & a^{2m} \end{pmatrix};$$

$Q_{m,m}$ – нулевая $m \times m$ -матрица; $E[x^2(0)] = \frac{2}{X} m_X^2$.

В качестве оценки $\hat{x}(j)$ на каждом j -м шаге ($j = 1, 2, \dots, N$) берется центральный элемент $\hat{x}(j)$ вектора $\hat{X}(j) = (\hat{x}(j-m), \dots, \hat{x}(j), \dots, \hat{x}(j+m))^T$.

При $m = 0$ алгоритм (14) переходит в обычный калмановский фильтр.

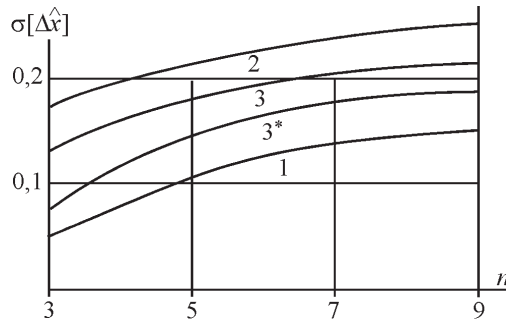
Рекуррентное оценивание при соответствующем выборе параметров a и b модели (11) оказывается более чувствительным к последним измерениям $Y(j)$, чем (8), что важно при восстановлении (обнаружении) резко меняющихся амплитуд сигналов отражения от объектов. Вместе с тем рекуррентный алгоритм зависит от выбора параметров a, b и обладает (хотя и в меньшей степени, чем (8)) сглаживающими свойствами.

Для компенсирования сглаживающих свойств рассмотренных алгоритмов при восстановлении последовательности амплитуд сигналов отражения от объектов целесообразно полученные оценки $\hat{x}(j)$, $j = 1, N$, подвергать операциям повышения контрастности типа кусочно-постоянной аппроксимации, например использовать рекуррентный фильтр нулевого порядка для запоминания последних средних значений $\bar{x}(n)$ амплитуд, вычисленных по формуле

$$\bar{x}(k-1) = \bar{x}(k) - (\hat{x}(j) - \bar{x}(k))/(k-1), \quad k = \overline{1, n},$$

причем переход от одного участка аппроксимации к другому осуществляется в моменты превышения модуля невязок порога $: |\hat{x}(j) - \bar{x}(n)|$. Возможно применение других методик.

Результаты моделирования. На рисунке представлены характеристики точности восстановления поля отражения: зависимости среднеквадратической ошибки (СКО) оценивания (восстановления) поля $[\hat{x}(j)]$, где $\hat{x}(j) = \hat{x}(j) - x(j)$, от числа n делений ДНА при амплитуде $A = 1$ и СКО помехи $w = 0,1$, полученные путем моделирования РЛ-изображений объектов на фоне подстилающей поверхности по данным суммарного и разностного каналов, близким к натурным данным, для следующих алгоритмов: зависимость 1 – алгоритм (7) МНК решения систем уравнений для двухканальных измерений с рекуррентным обращением матрицы (параметр регуляризации $0,1$); зависимость 2 – алгоритм (8) минимизации среднего квадрата ошибки оценивания с конечной памятью; зависимость 3 – рекуррентный



(калмановский) алгоритм (14) минимизации суммарного квадрата ошибки оценивания и 3^* – этот же алгоритм с повышением контрастности.

Результаты моделирования (см. рисунок) показывают, что алгоритм 1 дает наиболее точные оценки \hat{X} параметров X , но требует информации по двум каналам измерения. Рекуррентный алгоритм 3^* хорошо приспособлен для работы с одним суммарным каналом (использование данных второго разностного канала для алгоритмов 2, 3 и 3^* не дает существенного увеличения точности).

При оценке повышения разрешающей способности по результатам моделирования можно исходить из следующих соображений. Точность восстановления поля $[\hat{x}]$ для алгоритма 3^* соизмерима с уровнем помех w :

$[\hat{x}] \approx 1,0 - 1,5 w$ при числе делений ДНА (элементов дискретизации) $n \approx 3 - 5$, а для алгоритма 1 – при $n \approx 7 - 9$ (при дальнейшем увеличении n или уменьшении размера элемента дискретизации идет установившийся процесс), т. е. исходя из рисунка разрешающая способность повышается в 5 раз для одного суммарного канала или в 7–9 раз для суммарного и разностного каналов, элемент разрешения составляет $1/5$ или $1/7 - 1/9$ ширины ДНА соответственно. Этот вывод подтверждался также при моделировании работы алгоритма 3^* с реальными РЛ-изображениями двух объектов по данным суммарного канала. При этом разрешающая способность r_p оценивалась как минимальное относительное угловое расстояние по азимуту $\min_{\text{min}} r_p$ между объектами, при котором они различались на изображении: $r_p = \min_{\text{min}} / \text{ширина ДНА}$.

Заключение. Предложенные методы, являющиеся одним из направлений восстановления радиолокационных изображений, могут найти применение при разработке бортовых радиолокационных систем наблюдения за поверхностью (или воздушной обстановкой) в координатах «азимут – дальность» в режиме последовательного смещения реального луча РЛС по азимуту, что дает возможность повысить в несколько раз разрешающую способность РЛС по азимуту. Данная методика после некоторых модификаций может быть использована при совместном повышении разрешающей способности РЛС по азимуту и углу места в заданном диапазоне дальности, а также для устранения пространственных смазываний изображений. При этом повышается качество изображения, необходимое для последующего решения задачи его распознавания [8].

Другое направление решения задачи восстановления РЛ-изображений при повышении разрешающей способности РЛС по азимуту основано на элементах распознавания с учетом информации о форме последовательно-

сти амплитуд сигналов отражения от объектов. Это приводит к построению достаточно простых и надежных алгоритмов восстановления поля $x(i, j)$ путем обнаружения и восстановления последовательностей амплитуд сигналов отражения от объектов в реальном масштабе времени. Данные алгоритмы представлены отдельной публикацией.

СПИСОК ЛИТЕРАТУРЫ

1. Ключко В. К., Мойбенко В. И. Концепция пространственно-временной обработки радиолокационных изображений поверхности на базе бортовых РЛС с электронным сканированием // Радиопромышленность. 2001. № 3. С. 10.
2. Антипов В. Н., Горяинов В. Т., Кулин А. Н. и др. Радиолокационные станции с цифровым синтезированием апертуры антенны /Под ред. В. Т. Горяинова. М.: Радио и связь, 1988.
3. Васьков С. Т., Ефимов В. М., Резник А. Л. Быстрая цифровая реконструкция сигналов и изображений по критерию минимума энергии //Автометрия. 2003. 39, № 4. С. 13.
4. Чураков Е. П. Математические методы в экономике: Учебн. пособие. М.: Финансы и статистика, 2004.
5. Сейдж Э., Мэлс Дж. Теория оценивания и ее применение в связи и управлении: Пер. с англ. /Под ред. Б. Р. Левина. М.: Связь, 1976.
6. Грузман И. С. Двухэтапное восстановление дефокусированных изображений // Автометрия. 1997. № 2. С. 93.
7. Ильин М. Е., Новиков А. И., Фатянов С. О., Чураков Е. П. Математическое обеспечение задач интерпретации результатов косвенных измерений в спектроскопии // Электронное моделирование. 1991. № 2. С. 81.
8. Ключко В. К., Курилкин В. В., Шейнина И. В. Сравнительный анализ алгоритмов распознавания радиолокационных изображений объектов по данным бортовой РЛС // Радиотехника. 2003. № 12. С. 3.

Рязанская государственная
радиотехническая академия,
E-mail: VM@RGRTA.RYAZAN.RU

Поступила в редакцию
5 января 2004 г.